

دراسة تأثير المعاملات الحرارية السطحية بالليزر على سبيكة المنيوم- سيليكون (390)

علي حسين عتيوي* محمد صالح أحمد**

تاريخ التسلم: 2004/10/21

تاريخ القبول: 2005/6/28

الخلاصة

يهدف البحث إلى دراسة تأثير المعاملة الحرارية بالليزر على سبيكة المنيوم- سيليكون نوع (390) باستعمال ليزر نديوم- زجاج (Nd- Glass) النبضي وبامتد نبضة (300µs). استعملت طاقات ليزرية مختلفة في المعاملة هي 1J، 1.2J، 1.5J وذلك باستعمال طريقة التصليد بالصهر السطحي.

تمت دراسة خشونة السطح المعامل بالليزر وتوضيح ازدياد معدل الخشونة للعينات بعد المعاملة بالليزر. ومن خلال إجراء قياسات الصلادة الدقيقة (المجهرية) للمنطقة المعاملة وجد زيادة واضحة في قيمة الصلادة لسبيكة المنيوم- سيليكون (390) بالمقارنة مع المعاملة التقليدية والمعدن غير المعامل. وكانت أعلى قيمة صلادة تم الحصول عليها لهذه السبيكة بمقدار (285HV). تم تحديد الاطوار المتكونة في السبيكة عند معاملة بالاشعة الليزر وذلك من خلال تحليل حيود الأشعة السينية، ودراسة التركيب المجهرية، إذ تبين ان الاطوار بعد المعاملة بالليزر تكون أكثر شدة منها قبل المعاملة.

أجريت فحوصات البلى للعينات المستعملة لهذه السبيكة وأظهرت النتائج تحسناً في معدل البلى بعد المعاملة بالليزر بالمقارنة مع الفحص بعد المعاملة التقليدية والمعدن غير المعامل.

الكلمات المرشدة: سبيكة المنيوم- سيليكون (390)، معاملة حرارية سطحية، ليزر نديوم زجاج، خشونة سطحية- صلادة مابكوية

Study the effect of LASER surface treatment on Al-Si alloy type (390)

Abstract

The aim of research is to study the effect of heat treatment by using pulse Nd-glass laser with pulse duration 300µs, on surface properties of aluminum – silicon casting type (390). Three laser energies were used to melt and then harden surfaces. These energies were 1J, 1.2J, and 1.5J.

The study into roughness of laser treated surface shows that the roughness is increased after the treatment.

The micro hardness measurement of laser surfaces shows an increase in this property compared with surfaces treated with conventional treatment or the untreated surfaces. The maximum micro hardness measured after laser treatment was 285 HV.

X-ray diffraction was used to identify phases appeared after laser treatment. This technique, together with optical examination, indicates that the phases present are more intense after laser treatment than before.

Finally, wear rate tests were made on laser treated samples. The result shows an improvement in wear resistance as compared with non-treated or conventionally heat-treated specimens

* قسم هندسة المواد/ الجامعة التكنولوجية

** وزارة العلوم والتكنولوجيا

المقدمة

تعتبر سبائك الألمنيوم من السبائك المهمة جداً لما لها من استعمالات واسعة في العديد من حقول التكنولوجيا كالصناعات الفضائية وصناعة السيارات وذلك لامتلاكها العديد من المميزات التي تؤهلها لهذه الاستعمالات ككثافتها الواثقة ومقاومتها الجيدة للتآكل وتوصيليتها الحرارية العالية [1].

يعتبر الليزر من أهم الطرق اللاتقليدية وأوسعها استعمالاً للمعاملة السطحية للمواد السبائكية. لقد استعملت المعاملة بأشعة الليزر خلال الستينات، واتسع استعمالها في عمليات التصليد السطحي لمعاملة الأجزاء المعقدة والتي يصعب تصليدها بالطرق التقليدية، وذلك لما تمتاز به حزمة الليزر من فوائد عديدة، منها تميزها بعدم وجود تماس بين الأداة والمادة المشغلة علاوة على تميزها بميزة التصليد الموقعي للعديد من الأجزاء المعقدة.

يعد الانصهار السطحي بالليزر من المعاملات المهمة ذات الاستعمال الواسع في العديد من التطبيقات الصناعية المختلفة للمواد التي لا تتصلد بالتحول المارتنسايتي، مثل حديد الزهر وبعض الفولاذ المقاوم للصدأ والتيتانيوم وفولاذ العند وسبائك الألمنيوم [2].

في عام 1985 قام (G. Coquerelle, وجماعته) [3] بدراسة الاحتكاك والبلى لسبائك الألمنيوم- سليكون المعاملة بالليزر، وذلك باستعمال ليزر CO₂ المستمر ذي قدرة 5kw بعملية صهر سطحي لهذه السبائك المصنوبة (AS17U4G, AS12UN, AS5U3) وأظهرت الدراسة تحسناً في الصلادة ومقاومة البلى وكذلك أظهرت ان محتوى السليكون هو العامل المسيطر في مقاومة البلى.

ودرس Antoni وأخرون [4] عام 1988 تأثير الانصهار والتسبيك السطحي بالليزر في سلوك البلى لسبائك المنسيوم- سليكون باستخدام ليزر CO₂ ذي قدرة 1.5kw وسبائك المنسيوم- سليكون ذات

محتوى سليكون Si 7% وكانت قيمة الصلادة 110HV لعمق (100µm).

كذلك قام Hossor & Hegge [5] عام 1989 بدراسة التركيب البلوري للألمنيوم النقي المعامل بالليزر بشدة وسبائك من سبائك الألمنيوم- سليكون (Al- 0.75 Si, Al- 0.4 Si). وقد استنتج ان كثافة الانخلاعات في سبائك الألمنيوم- سليكون تزداد مع زيادة سرعة المسح المتسببة بقصر المسافات بين جدران الخلايا المشبعة.

كما ان Leinenbach, Christian [6] عام 1999 قام بدراسة تحسين الخواص السطحية لسبيكة (Al 10% Si) المصبوبة باستعمال ليزر (Nd-YAG) عالي القدرة. اذ قام بدراسة احتمالات تحسين مقاومة البلى لسبيكة وذلك باستعمال الصهر السطحي بالليزر، والتسبيك السطحي بالليزر، فضلاً عن التخصيب (Impregnation) بالليزر. اذ استعمل مسحوق النيكل النقي وخليط من مسحوق (نيكل/ كروم) بنسبة (20/80) في التسبيك بالليزر، كذلك استعمل كاربيد التيتانيوم الصلب في عملية التخصيب بالليزر، وقد أظهرت النتائج ان الصهر بالليزر أعطى سطوحاً ناعمة مع صلادة مقدارها (0.1) 100HV بالمقارنة مع (0.1) 55-60HV مع المادة قبل المعاملة. كما ان مقاومة البلى ازدادت بمقدار (2) في حالة التسبيك وبمقدار (3) في حالة التسبيك والتخصيب بالمقارنة مع المادة الأساس غير المعاملة.

كذلك قام Zeyad A.T. [2] عام 2003 بدراسة تأثير الليزر على سبائك الألمنيوم- سليكون لسبيكة (AlSi25) باستخدام الصهر بليزر Nd-Glass النبضي وحصل على تحسين واضح في الصلادة لهذه السبيكة وقد كانت قيمة الصلادة 242HV.

ان هذا البحث يهدف الى دراسة تأثير المعاملة السطحية بالليزر على سبيكة المنيوم- سليكون (390) باستعمال ليزر Nd-Glass النبضي وباستعمال طريقة الصهر السطحي ولطافات ليزرية مختلفة.

الجزء العملي:

إذ تمثل (A) مساحة البقعة عند البؤرة (cm^2) فقد تم استخدام عدسة بعدها البؤري 4cm. فضلاً عن اجراء المعاملة التقليدية والتي تمت بالتسخين إلى درجة حرارة 495°C للحصول على المحلول المنتظم المتجانس، إذ ثبتت العينات في هذه الدرجة الحرارية مدة 30 دقيقة وبردت بعدها بالماء ثم أعيد وضعها في الفرن لمدة 8 ساعات بدرجة حرارة 175°C وذلك للحصول على التعتيق الاصطناعي T_6 [9].

تم تحضير العينات بعد ان تم تقطيعها إلى قطع ذات ابعاد مختلفة (على شكل قرص 10mm ϕ وسمك 5mm) بوجود سائل تبريد لتجنب الارتفاع في درجات الحرارة في اثناء عملية القطع. ثم تنظيف العينات بالكحول لإزالة الدهون والاصاخ الأخرى. أجريت بعد ذلك عمليات التعقيم بأوراق من كاربيد السليكون وتيار مائي هادئ على عدة مراحل كالأتي (80, 120, 400, 600, 800, 1000, 1200) ثم صقلت العينات بقماش الصقل ومعجون الألومينا.

ان المرحلة الأخيرة تمثلت في استعمال محلول الاظهار (Etching solution) لأظهار التركيب المجهرى والمكون من (0.5) حامض الهيدروفلوريك (Hf) مع 99.5% ماء. حيث شمرت العينات فيه مدة 30 ثانية.

تم استعمال المجهر الضوئي من نوع (Reichert) المجهر بكاميرا رقمية منسوبة ببرنامج خاص على جهاز حاسوب امكن من خلالها النقاط صور للبنية المجهرية بقوة تكبير (250X) بعد مشاهدتها على شاشة العرض الخاصة بالحاسبة.

كذلك فقد تم استعمال جهاز نوع (Letz Wetzlar Germany 8397) لقياس الصلادة الدقيقة بطريقة (Vickers) ذو أداة تغاغل ماسية مربعة القاعدة هرمية الشكل ذات زاوية رأسية مقدارها (136°) واستعمل حمل مقداره (300 غم) مدة (30) ثانية وان العلاقة المستعملة في حساب الصلادة المجهرية لهذه الطريقة هي:

استعمل في هذا البحث ليزر نديميوم- زجاج النبضي (Pulsed Nd-Glass Laser) والذي يعد احد ليزرات الحالة الصلبة الأكثر استعمالاً بسبب الانبعاث المحفز لايونسات النديميوم ثلاثي التكافؤ Nd^{3+} التي يكون الزجاج عادة المادة المضيئة لها [7]. ومن الخصائص المميزة لهذا النوع من الليزر انه موحد الخواص في جميع الاتجاهات [8] فضلاً عن الكلفة الواطئة بالمقارنة مع ليزر Nd-YAG.

استعملت في هذا البحث سبيكة المنيوم- سليكون (390) وهي من سلسلة (300) وهي من السبائك المصبوبة. والجدول (1) يبين التركيب الكيماوي للسبيكة المستعملة بالمقارنة مع التركيب الكيماوي القياسي. وذلك بحسب مواصفة (ASM) [9].

استعملت عملية الصهر السطحي بالليزر للعينات المحضرة من هذه السبيكة وذلك باستعمال ضربات منفردة (Single Pulses) وأخرى متداخلة (Over lapped-pulses) وبطاقات تتراوح بين 1J إلى 1.5J. علماً انه تم الحصول على كثافة القدرة مقاساً (بالواط) وفق العلاقة

$$I = \frac{P}{A} \dots\dots (1)$$

وفي الليزرات النبضية فان لأمد النبضة تأثيراً كبيراً في تحديد قيمة قدرة الليزر أي ان

$$P = \frac{E}{t_p} \dots\dots (2)$$

إذ تمثل (E) طاقة نبضة الليزر مقاساً (بالجول) و (t_p) أمد النبضة مقاساً (Sec). وعلى هذا الأساس تم احتساب كثافة القدرة في منطقة بؤرة العنسة وفق المعادلة الآتية:

$$I = \frac{E}{At_p} \dots\dots (3)$$

d: المسافة بين المستويات
λ: الطول الموجي للأشعة السينية.

النتائج والمناقشة:

1- تأثير كثافة القدرة:

تعد كثافة القدرة من المعاملات الرئيسية في المعاملات السطحية بالليزر والتي يجب السيطرة عليها بدقة للحصول على أفضل انصهار للمنطقة المعاملة والذي يحقق بالنتيجة أفضل الخواص المطلوبة. ان كثافة القدرة تعتمد بالدرجة الأساس على طاقة الليزر التي لها تأثير كبير على عمليات التصليد السطحي موضوع بحثنا. إذ ان زيادة الطاقة كما اثرتنا تؤدي إلى زيادة كمية الحرارة التي يمتصها المعدن ومن ثم ارتفاع درجة حرارته بزمن قصير جداً اعتماداً على زمن النبضة وعند انقطاع نبضة الليزر سيكون هناك تبريد مفاجئ بانحدار حراري عالي جداً بازمان قصيرة مؤدياً لتكون اجهادات متبقية تغير من خصائص المعدن الميكانيكية وخاصة الصلادة.

الأشكال (1)، (2)، (3) تمثل العلاقة بين الصلادة المايكروية وكثافة القدرة للسبيكة المستعملة في البحث ولطاقات ليزرية مختلفة (1J, 1.2J, 1.5J).

يتبين من الأشكال اعلاه انه مع زيادة كثافة القدرة فإن قيمة الصلادة لسبيكة (المنيوم- سيليكون 390) تزداد. ان السبب في زيادة قيمة الصلادة مع زيادة كثافة القدرة لسبيكة المنيوم- سيليكون (390) من الممكن ان يعزى إلى الانصهار الحاصل في الطبقة السطحية للسبيكة السذي بسبب نقصاناً في الحجم الحبيبي بسبب معدل التبريد العالي مما يعطي قوة أكثر تؤدي إلى زيادة قيمة الصلادة في السبيكة.

2- العلاقة بين الصلادة والمسافة عن مركز الضربة بالليزر:

تم قياس الصلادة الدقيقة لسبيكة الالمنيوم المستخدمة في البحث كما مبين في الأشكال (4، 5، 6) التي تبين تغير قيم الصلادة الدقيقة مع المسافة عن مركز الضربة لقيم مختلفة من الطاقات للأشعة

$$\left[HV = \frac{1.854F}{d^2} \cdot \text{Kgf/mm}^2 \right] \dots (4)$$

وتم استعمال جهاز فحص الخشونة نوع (Taylor- Hobson Talysurf 4) لحساب خشونة السطح علماً ان قياس الخشونة كان بطريقة (Center line average C.L.I).

اجري اختيار البلسي للعينات قبل المعاملة وبعدها بأشعة الليزر كذلك قبل المعاملة التقليدية وبعدها باستعمال الطريقة الوزنية واستعمال جهاز فحص البلى المتكون من قرص فولاذي صلادته 60HRC السذي يدور بسرعة (420 rev/min) بفعل محرك كهربائي. وضعت العينة بتماس مباشر مع القرص في أثناء الدوران مدة (5) دقائق تحت تأثير حمل مسطوح مقداره (2Kg)، توزن العينة بميزان حساس وذلك لحساب مقدار فقدان في الوزن خلال كل (5) دقائق وتعاد العملية (5) مرات. وتم تطبيق المعادلة:

$$\text{Wear rate} = \frac{M_1 - M_2}{\pi s_1 v_1 t_1} \dots (5)$$

إذ ان:

M₁: كتلة العينة قبل التشغيل (gm)

M₂: كتلة العينة بعد التشغيل (gm)

s₁: قطر مسار العينة هو (10 cm)

v₁: السرعة الدورانية للقرص (rev/min)

t₁: زمن الفحص (min)

ولمعرفة التراكيب البلورية للأسطوار المتكونة استعمل جهاز حيود الأشعة السينية نوع (Pw- 1840- Philips). ان جميع فحوصات حيود الأشعة السينية تمت عند درجة حرارة الغرفة وبمدى زوايا 2θ بمقدار (20- 60)، وقد تم اتباع قانون براك لحساب المسافة (d) بين المستويات الذرية.

$$2 d \sin \theta = n \lambda \dots (6)$$

إذ ان:

θ: زاوية الحيود

n: مرتبة الحيود = 1

الصلادة لذا فإن معدل البلى للسبيكة بعد المعاملة بالليزر يكون أقل ما يمكن ويميل إلى الانتظام مع ملاحظة ان معدل البلى بعد المعاملة التقليدية يكون قليلاً أيضاً لكنه أكبر من معدل البلى بعد المعاملة بالليزر كل ذلك مقارنة مع السبيكة قبل المعاملة والتي سجلت أعلى معدل البلى.

تتفق النتائج التي تم الحصول عليها بخصوص زيادة مقاومة البلى مع نتائج بحوث أخرى [2,3] مع الاختلاف في معدلات البلى الناتجة.

4- البنية المجهرية وعلاقتها بتدهول حيود الأشعة السينية:

بعد فحص البنية المجهرية من الفحوصات المهمة جداً وذلك لتوضيح التغير في التركيب والبنية المجهرية للسبيكة المستعملة في البحث والشكل (9) يوضح التركيب المجهرى للعينات قبل المعاملة باشعة الليزر وبعدها، وفي هذه السبيكة المستعملة في البحث الموضح تركيبها المجهرى في الشكل (9A) فأن بلورات السليكون الأكثر تركيزاً في السبيكة تبدو واضحة في العينة المجهرية على شكل بلورات إبرية خشنة^[10] هذا الشكل يكون بفعل نهاياته الحادة مركزاً لتركيز الاجهادات وبالتالي اضعاف الخواص الميكانيكية للسبيكة. عند المعاملة التقليدية لهذه السبيكة ترتفع درجة الحرارة جراء المعاملة مما يؤدي إلى نقصان الحجم الحبيبي لبلورات السليكون وتفاعلها لتكوين اطوار تقوية تظهر من خلال تحليل حيود الأشعة السينية المبين في الجدول (2-A,B) مما يؤدي إلى زيادة قيمة الصلادة في السبيكة وتحسين مقاومة البلى.

بعد المعاملة بالليزر تتعرض بلورات السليكون إلى نقصان واضح في الحجم الحبيبي بسبب الارتفاع الكبير في درجات الحرارة والذي يؤدي إلى ان يكون تركيب السبيكة انعم واصلد.

يعزى للتعيم الحاصل في بلورات السليكون إلى الانصهار الذي حصل في السطح نتيجة للامتصاصية الحاصلة لحزمة

الليزر. عند ملاحظة الأشكال أعلاه يتبين ان قيمة الصلادة تقل كلما ابتعدنا عن مركز الضربة وان قيمة الصلادة تكون عالية في مركز الضربة (النقطة A)، ويعود ذلك للتوزيع الكبير في درجات الحرارة في تلك المنطقة عند حصول عملية الانصهار والاختام الذاتي السريع كما في الأشكال (4، 5، 6)، وهذا يعني أكثر مقاومة للغرز (أقل عسقا). ويعود ذلك إلى ان المنطقة المعاملة تكون فيها أعلى قيمة لدرجات الحرارة وبالتالي أعلى قيمة للتدرج الحراري، وكلما ابتعدنا عن المنطقة المعاملة يكون التوزيع الحراري أقل وهذا يعني ان قيمة الصلادة تكون أقل ومن ثم يزداد عمق الغرز (نقصان المقاومة) حتى يكاد يصل إلى قيمة قريبة من قيمة الصلادة للسبيكة قبل المعاملة في ابعاد منطقة على المنطقة المعاملة كما موضع في النقطة (B) من الأشكال أعلاه.

3- نتائج فحص البلى:

دراسة تأثير المعاملة بالليزر في مقاومة البلى تمت معاملة عينات من سبائك الألمنيوم المستعملة في البحث. واجري فحص البلى لعينات أجريت عليها معاملات تقليدية ومعاملات بالليزر علاوة على السبيكة غير المعاملة. بينت النتائج المتمثلة بالشكل (7) العلاقة بين مقدار الفقدان في الوزن وزمن الفحص للعينات المستخدمة في البحث إذ نلاحظ اختلافاً واضحاً في مقدار الفقدان بالوزن في الحالات الثلاث:

أظهرت النتائج ان مقدار الفقدان في الوزن للعينات المعاملة بالليزر أقل من مقدار الفقدان في الوزن للعينات المعاملة حرارياً بصورة تقليدية وهذه ابدت فقدان في الوزن أقل مقارنة بالسبيكة قبل المعاملة ذلك ان العينات المعاملة بالليزر اظهرت تحسناً واضحاً في قيمة الصلادة أكثر من تلك المعاملة تقليدياً وعينات المعدن قبل المعاملة اما الشكل (8) فيمثل العلاقة بين معدل البلى وزمن الفحص للسبيكة المستعملة في البحث. ان المعاملة بالليزر حسنت الخواص الميكانيكية ولاحظ زيادة واضحة في قيمة

4- أظهرت المعاملة بالليزر Nd-Glass تحسناً واضحاً في مقاومة التلي لسبيكة المنيوم- سليكون (390) بالمقارنة مع المعاملة التقليدية وبالمقارنة مع السبيكة قبل المعاملة.

المصادر

1. P. Vanhile , S. Tosto., Surface and Coatings technology 80, 295- 303, 1992.
2. Zayed A. T., Laser Surface Treatments of Steel and Aluminum Alloys, M. Sc. Thesis, Baghdad University, 2003.
3. Coquerelle G., Bosch J. P., Farges G., Tribology- Surface Treatment Laboratory. Acta, Metal. pp. 409-423, 1985.
4. Antoni M.P., Blank E. Effect of Laser Surface Remelting and Alloying on The Wear Behavior of Al- Si Alloy. Ecole Polytechnique, Switzerland, 1988.
5. Hegge H.J. , De Hossor J.T., Microstructure of Laser Treated Al- Alloys. Metal Matter. 38 (12): 2471-2477, 1989.
6. Leinenabach,Christaing., Improved Surface Properties of Cast (AlSi10) by Nd-YAG Laser Surface Treatment. 1998, <http://epubl.Luth.Se/1402-1617/150..>
7. Al- Janabi A. Hadi, S. Y. Jasim, F. Tariq, Design and Construction Of High Energy Nd- Glass Laser System. Laser and Plasma Institute. Baghdad University, 1999.
8. Arecchi F.T., E.O. Schulz. Dubious. Laser Handbook Vol. 1, New York, EDWARD PUBLISHER, 1972.
9. Boyer E.H., Gall Timothy L., Metal Handbook Desk edition. ASM. 1985.
10. Yu.M. Lakhtin, Engineering Physical Metallurgy and Heat Treatment Moscow, MIR PUBLISHER, 1979.

الليزر وان هذا الامتصاص يتركز في بلورات السليكون اكثر منه في الالمنيوم (الانعكاسية للسليكون 0.4 والانعكاسية للالمنيوم 0.98) لذلك فان التركيز الحراري سيكون في بلورات السليكون جاعلة هذه البلورات تنفتت وتكون انعم مما يسيل تفاعل السليكون مع العناصر الأخرى مثل -Ct Mg لتكوين مركبات وسطية تم الكشف عنها من خلال حيود الأشعة السينية المبين في الجدول (2-A, B) هذه المركبات هي $(Mg_6Si_7Cu_6, Al_5Fe_2)$ تمثل اطوار تقوية في السبيكة تؤدي إلى زيادة قيمة الصلادة في السبيكة مقارنة مع السبيكة قبل المعاملة.

5- نتائج فحص الخشونة:

يمثل الشكل (10) العلاقة بين كثافة القدرة و خشونة السطح للسبيكة المستعملة في البحث ويظهر من هذا الشكل انه عند طاقة ليزر معينة تزداد خشونة السطح مع كثافة القدرة. ان لطاقة شعاع الليزر تأثير كبير في عمليات التصليد السطحي لان الزيادة في الطاقة أو كثافة القدرة تؤدي إلى زيادة في كمية الحرارة الممتصة من قبل المعدن مما يؤدي إلى ارتفاع درجة الحرارة وتؤدي بالنتيجة إلى توليد شد سطحي مرتبط بانصهار قليل يعطي طبقة سطحية غير منتظمة. ان استخدام كثافة قدرة عالية مسع زمن قصير يؤدي إلى حصول تموجات في المنطقة المعاملة التي تؤدي بالنتيجة إلى جعل السطح خشناً.

الاستنتاجات:

- 1- أدت زيادة طاقة أشعة الليزر إلى زيادة واضحة في قيمة صلادة سبيكة المنيوم- سليكون (390) المستعملة في البحث.
- 2- ان زيادة قيمة الصلادة في سبيكة المنيوم- سليكون (390) يعود إلى التنعيم الحاصل في الحجم الحبيبي لبلورات السليكون ذات التركيز الأعلى في السبيكة.
- 3- أدت زيادة طاقة أشعة الليزر إلى ارتفاع واضح في خشونة السطح.

جدول رقم (1) نتائج التحليل الكيماوي لسبيكة الألمنيوم- سليكون (390) الذي اجري للسبيكة بعد الصب مقارنة بالتركيب الكيماوي حسب المواصفة القياسية

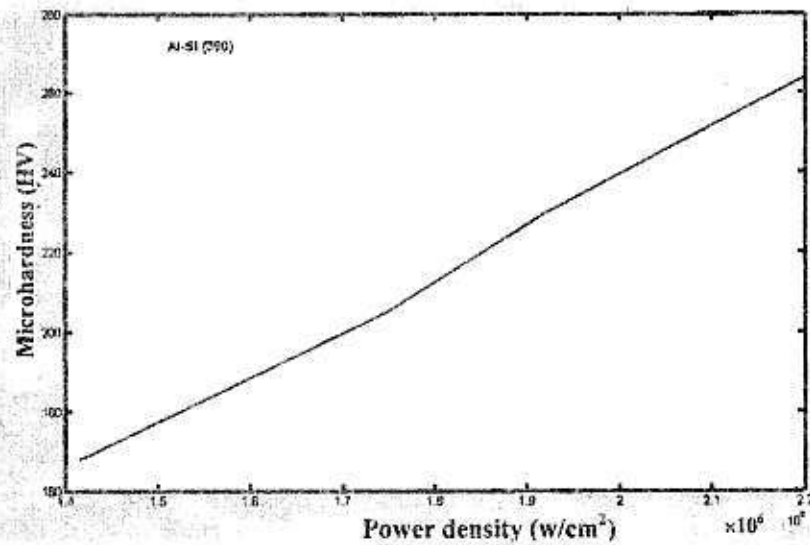
العنصر	التركيب الكيماوي حسب المواصفة القياسية		التركيب الكيماوي وفق التحليل
Element	Minimum %	Maximum %	Real analysis
Si wt %	16	16	16.76
Fe wt %	0.00	1.3	2.44
Cu wt %	4	5	3.43
Mn wt %	0.00	0.1	0.24
Mg wt %	0.45	0.65	0.39
Ni wt %	0.00	0.00	0.14
Ti wt %	0.00	0.2	0.05
Cr wt %	0.00	0.00	0.84
Sn wt %	0.00	0.00	0.02
Zn wt %		0.1	0.86

جدول رقم (2) نتائج ومخططات حيود الأشعة السينية لسبيكة الألمنيوم- سليكون (390) قبل المعاملة

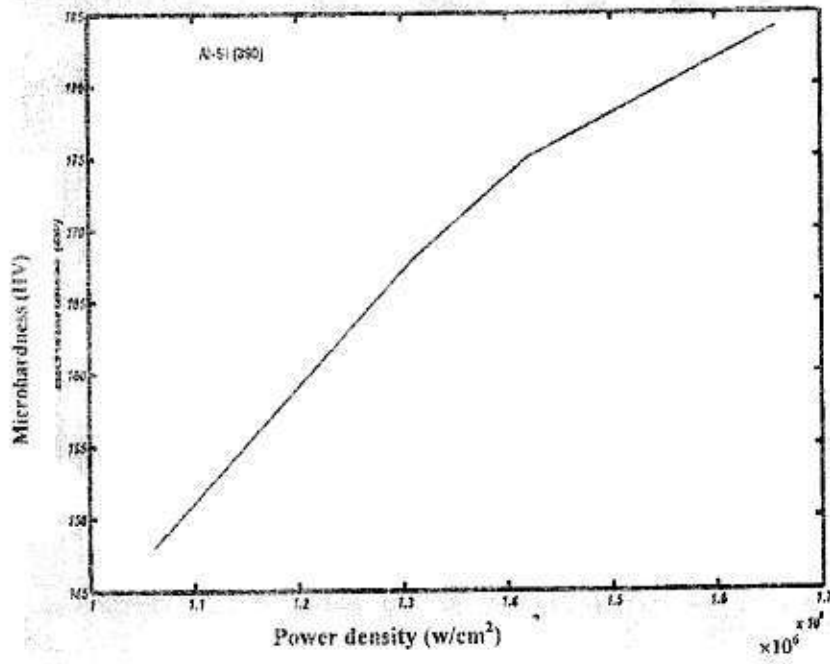
2θ	$d_{\text{hkl}} \text{, \AA}^\circ$	$d_{\text{standard}} \text{, \AA}^\circ$	Phase	Intensity
29	3.082	3.138	Si	100
31.2	2.87	2.89	Mg ₆ Si ₇ Cu ₁₆	50
38.6	2.335	2.338	Al	100
39.25	2.298	2.23	Mg ₆ Si ₇ Cu ₁₅	90
43.3	2.1	2.11	Al ₅ Fe ₂	100
44.8	2.025	2.024	Al	47
46.28	1.96	1.963	Mg ₆ Si ₇ Cu ₁₅	80
47.3	1.924	1.920	Si	60
48.1	1.894	1.90	Al ₅ Fe ₂	8
53	1.73	1.757	Mg ₆ Si ₇ Cu ₁₆	30
55.8	1.65	1.638	Si	35
58.4	1.58	1.59	Al ₅ Fe ₂	4
60.7	1.527	1.519	Mg ₆ Si ₇ Cu ₁₆	5
63.	1.477	1.48	Al ₅ Fe ₂	16
64.66	1.443	1.431	Al	22
69	1.363	1.357	Si	8
73.18	1.295	1.279	Mg ₆ Si ₇ Cu ₁₆	60
76.28	1.25	1.246	Si	13
78	1.226	1.221	Al	24
80.7	1.192	1.194	Mg ₆ Si ₇ Cu ₁₆	50
82	1.176	1.172	Mg ₆ Si ₇ Cu ₁₆	60
83.6	1.158	1.158	Al ₅ Fe ₂	2
87.8	1.113	1.11	Fe ₃ Al	20

جدول رقم (3) نتائج ومخططات حيود الأشعة السينية لسبيكة المنيوم - سليكون (390) بعد
المعاملة بالليزر

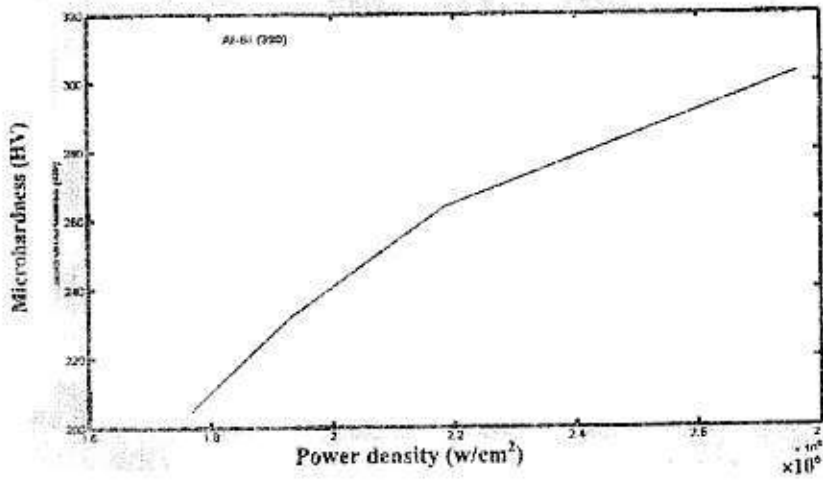
2θ (degree)	d' (Å)min.	d (Å) standard	Phase	Relative intensity (I/I ₀)
29	3.108	3.138	Si	100
34	2.64	2.61	Mg ₆ Si ₇ Cu ₁₆	5
38	2.3709	2.37	Mg ₆ Si ₇ Cu ₁₆	20
39	2.334	2.338	Al	100
40.31	2.24	2.23	Mg ₆ Si ₇ Cu ₁₆	90
42.7	2.12	2.11	Al ₃ Fe ₂	100
45	2.023	2.024	Al	47
47.2	1.917	1.92	Si	60
52.3	1.75	1.757	Mg ₆ Si ₇ Cu ₁₆	30
56	1.641	1.638	Si	2
60.3	1.5368	1.55	Al ₃ Fe ₂	2
65	1.431	1.431	Al	22
69	1.355	1.357	Si	8
73.6	1.2885	1.29	Fe ₃ Al	10
77	1.242	1.246	Si	13
78.7	1.218	1.221	Al	24
79.4	1.208	1.21	Al ₃ Fe ₂	16
83	1.164	1.169	Al	7
85.7	1.135	1.127	Mg ₆ Si ₇ Cu ₁₆	30
88.7	1.102	1.1083	Si	17



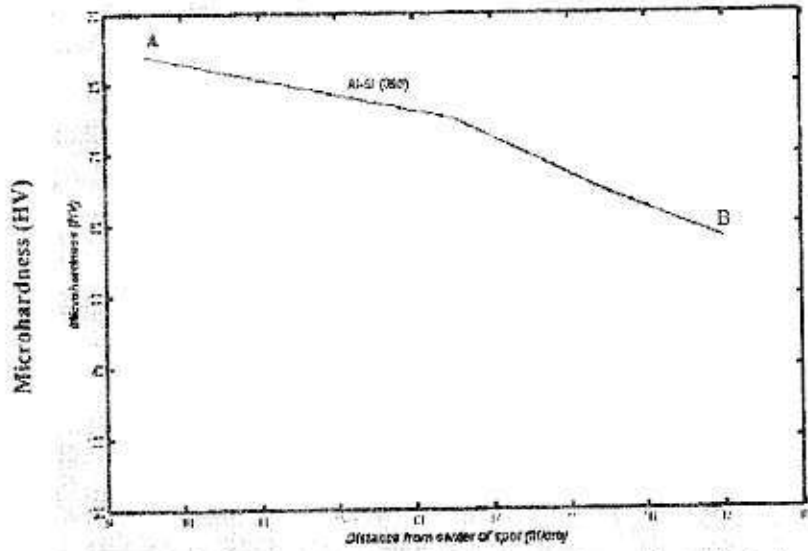
الشكل (1) العلاقة بين كثافة القدرة والصلادة الدقيقة عند طاقة ليزر (1J)



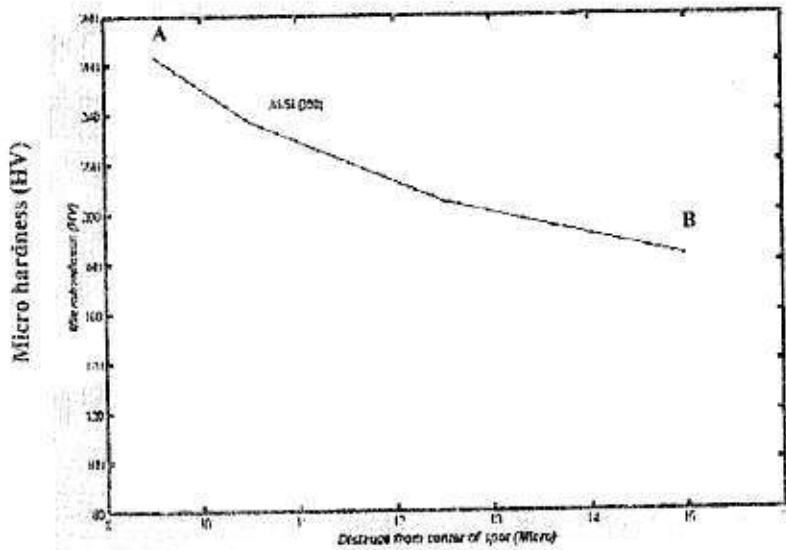
الشكل (2) العلاقة بين كثافة القدرة والصلادة الدقيقة عند طاقة ليزر (1.2J)



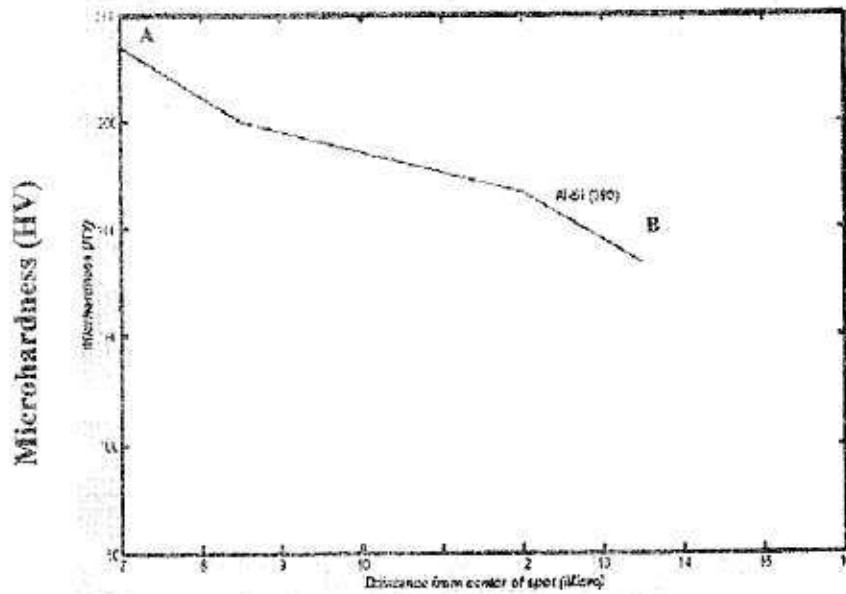
الشكل (3) العلاقة بين كثافة القدرة والصلادة الدقيقة عند طاقة ليزر (1.5J)



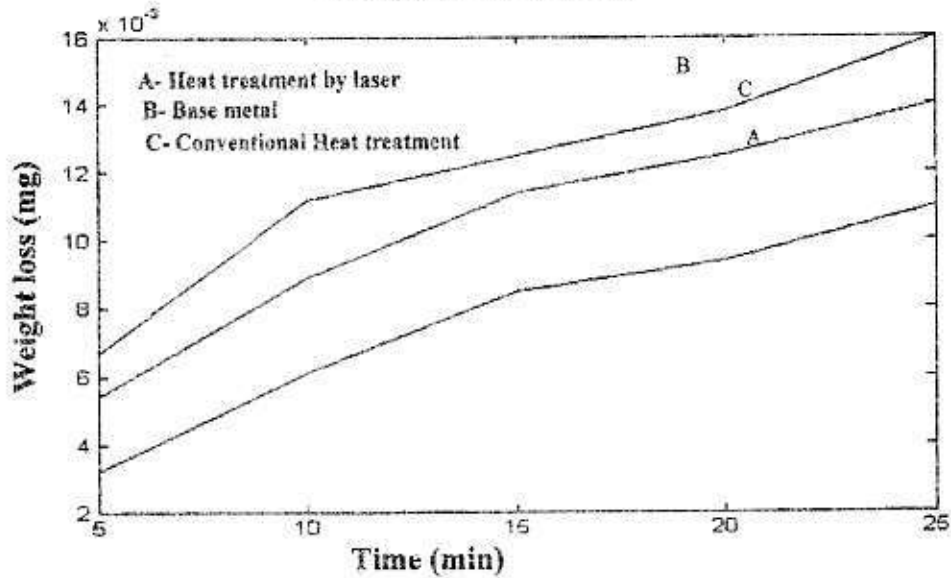
شكل (4) العلاقة بين الصلادة الدقيقة والمسافة عن مركز الضربة عند طاقة ليزر (1.1) للسبيكة المستعملة في البحث



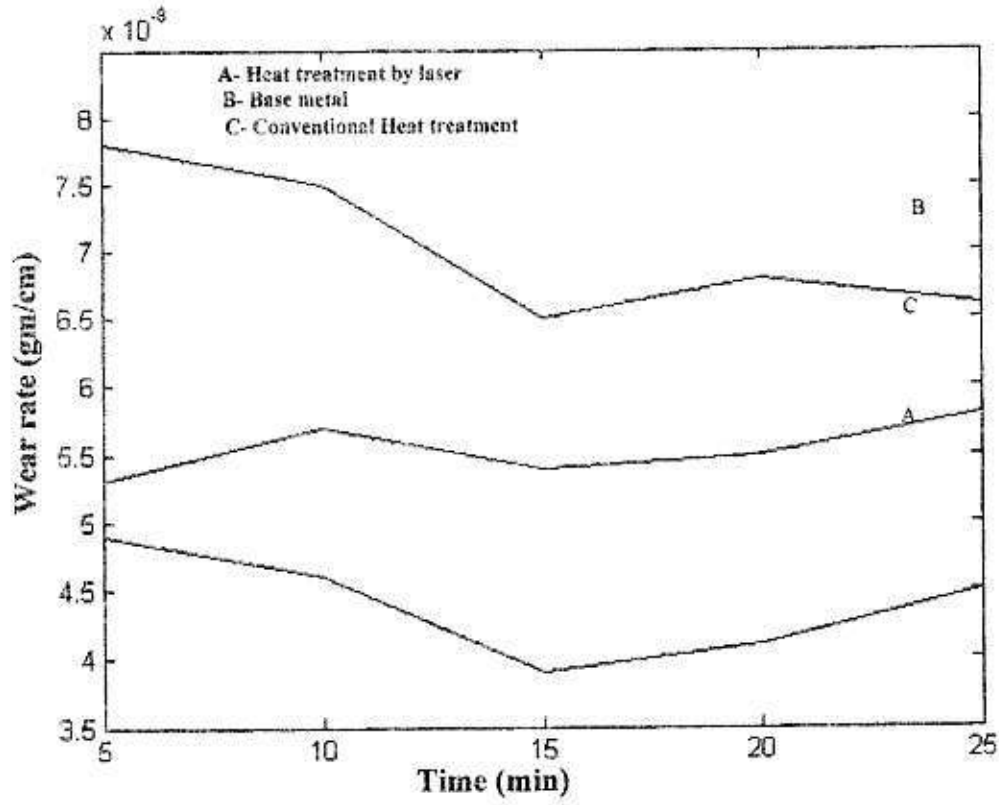
شكل (5) العلاقة بين الصلادة الدقيقة والمسافة عن مركز الضربة عند طاقة ليزر (1.2J) للسبيكة المستعملة في البحث



شكل (6) العلاقة بين الصلادة الدقيقة والمسافة عن مركز الضربة عند طاقة ليزر (1.5J) للسبيكة المستعملة في البحث



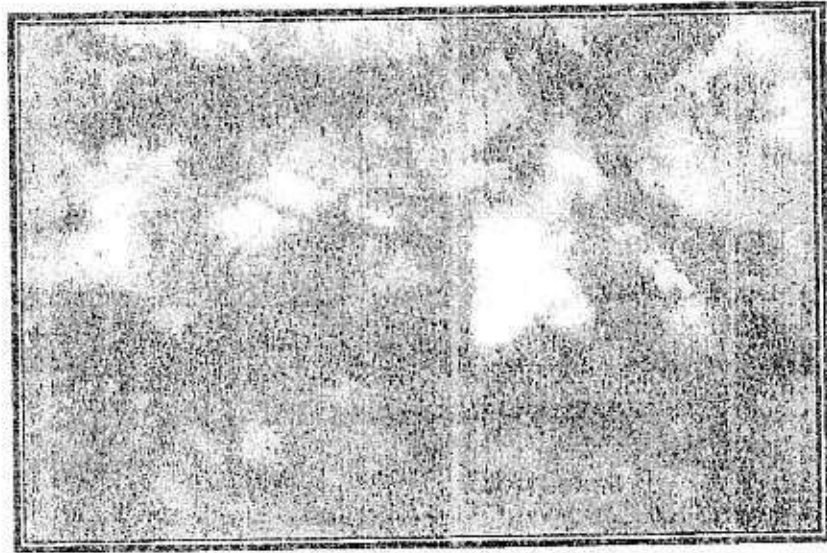
شكل (7) العلاقة بين الفقدان في الوزن وزمن فحص البلى



شكل (8) العلاقة بين معدل البلى وزمن فحص البلى

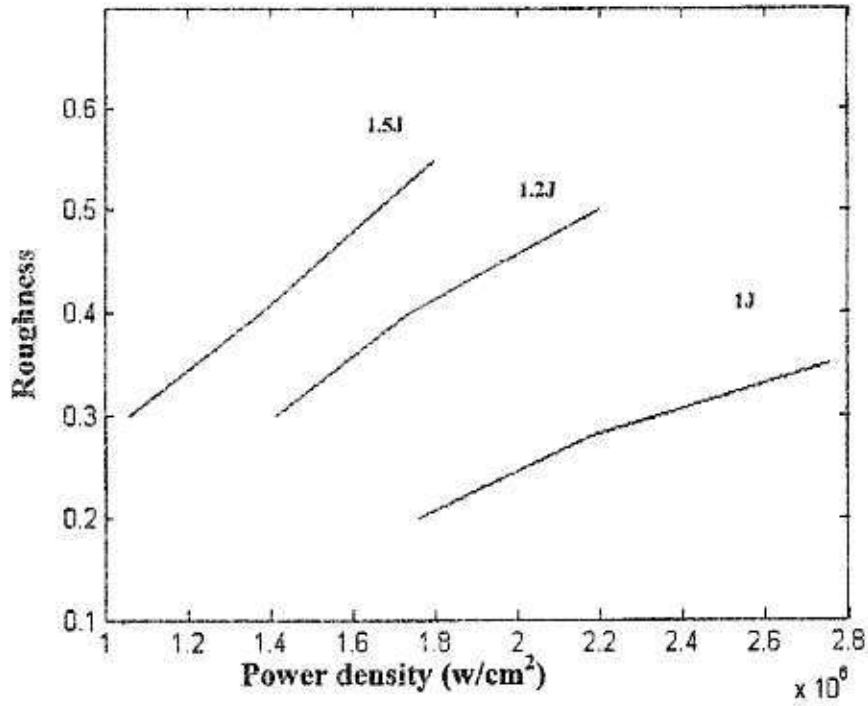


(A) قبل المعالجة



(B) بعد المعالجة بالليزر

شكل (9) التركيب المجهرى قبل المعالجة بالليزر وبعدها



شكل (10) العلاقة بين كثافة القدرة والخشونة